

TECNOLÓGICO DE MONTERREY



FÍSICA EXPERIMENTAL I
PRÁCTICA NUMÉRICA 01

Difracción y Transformada de Fourier

Names:

Rubén Darío Casso De León
Bernardo Barrera Godínez
Carla Judith López Zurita

A01196975
A01194182
A00822301

Profesor:

Raúl Hernández Aranda

Jueves 16 de abril, 2020

1. Apertura rectangular: Fresnel

1.1. Calculen el patrón de difracción de Fresnel para una apertura rectangular que tiene anchuras D_x y D_y respectivamente, y que es iluminada por una onda plana de amplitud unitaria.

1- a) Calcule analíticamente el patrón de difracción de Fresnel para:

$$U(x_0, y_0, 0) = \text{rect}\left(\frac{x_0}{D_x}\right) \text{rect}\left(\frac{y_0}{D_y}\right)$$

$$U(\vec{r}, z) = \frac{e^{ik_0 z}}{i\lambda z} \iint_{-\infty}^{\infty} U_0(x_0, y_0, 0) e^{i\frac{k_0}{2z}[(x-x_0)^2 + (y-y_0)^2]} dx_0 dy_0$$

$$= \frac{e^{ik_0 z}}{i\lambda z} \int_{-\infty}^{\infty} \text{rect}\left(\frac{x_0}{D_x}\right) e^{i\frac{k_0}{2z}(x-x_0)^2} dx_0 \int_{-\infty}^{\infty} \text{rect}\left(\frac{y_0}{D_y}\right) e^{i\frac{k_0}{2z}(y-y_0)^2} dy_0 = \frac{e^{ik_0 z}}{i\lambda z} \int_{-D_x/2}^{D_x/2} e^{i\frac{k_0}{2z}(x-x_0)^2} dx_0 \int_{-D_y/2}^{D_y/2} e^{i\frac{k_0}{2z}(y-y_0)^2} dy_0$$

Usamos el cambio de variable: $u = (x_0 - x) \sqrt{\frac{2}{\lambda z}}$ $v = (y_0 - y) \sqrt{\frac{2}{\lambda z}}$ $\frac{k_0}{2z}(x-x_0)^2 = \frac{k_0}{2z} \frac{\lambda z}{2} u^2 = \frac{\pi u^2}{2}$

$$du = \sqrt{\frac{2}{\lambda z}} dx_0$$

$$dv = \sqrt{\frac{2}{\lambda z}} dy_0$$

$$= \frac{\pi u^2}{2} = \frac{\pi u^2}{2}$$

$$= \frac{e^{ik_0 z}}{i\lambda z} \frac{\lambda z}{2} \left(\int_{(-D_x/2)\sqrt{\frac{2}{\lambda z}}}^{(D_x/2)\sqrt{\frac{2}{\lambda z}}} e^{i\frac{\pi}{2}u^2} du \right) \left(\int_{(-D_y/2)\sqrt{\frac{2}{\lambda z}}}^{(D_y/2)\sqrt{\frac{2}{\lambda z}}} e^{i\frac{\pi}{2}v^2} dv \right)$$

Sabemos que: $\int_{-D-x}^{D-x} f(x) dx = \int_{-D-x}^0 f(x) dx - \int_{D-x}^0 f(x) dx$

$$= \frac{e^{ik_0 z}}{2i} \left(\int_0^{(D_x/2)\sqrt{\frac{2}{\lambda z}}} e^{i\frac{\pi}{2}u^2} du - \int_{(-D_x/2)\sqrt{\frac{2}{\lambda z}}}^0 e^{i\frac{\pi}{2}u^2} du \right) \left(\int_0^{(D_y/2)\sqrt{\frac{2}{\lambda z}}} e^{i\frac{\pi}{2}v^2} dv - \int_{(-D_y/2)\sqrt{\frac{2}{\lambda z}}}^0 e^{i\frac{\pi}{2}v^2} dv \right)$$

$$= \int_0^{D-x} f(x) dx - \int_{D-x}^0 f(x) dx$$

Además, podemos reescribir: $\int_0^x e^{i\frac{\pi}{2}u^2} du = \int_0^x \cos\left(\frac{\pi}{2}u^2\right) du + i \int_0^x \sin\left(\frac{\pi}{2}u^2\right) du = C(x) + iS(x)$

Donde $S(x)$, $C(x)$ son las integrales de Fresnel. $S(x) = \int_0^x \sin\left(\frac{\pi}{2}u^2\right) du$, $C(x) = \int_0^x \cos\left(\frac{\pi}{2}u^2\right) du$

Aprovechando que $S(-x) = -S(x)$, $C(-x) = -C(x)$:

$$= \frac{e^{ik_0 z}}{2i} \left[C\left(\sqrt{\frac{2}{\lambda z}}(x - D_x/2)\right) - C\left(\sqrt{\frac{2}{\lambda z}}(D_x/2 + x)\right) + i \left[S\left(\sqrt{\frac{2}{\lambda z}}(x - D_x/2)\right) - S\left(\sqrt{\frac{2}{\lambda z}}(x + D_x/2)\right) \right] \right]$$

$$\times \left[C\left(\sqrt{\frac{2}{\lambda z}}(y - D_y/2)\right) - C\left(\sqrt{\frac{2}{\lambda z}}(D_y/2 + y)\right) + i \left[S\left(\sqrt{\frac{2}{\lambda z}}(y - D_y/2)\right) - S\left(\sqrt{\frac{2}{\lambda z}}(y + D_y/2)\right) \right] \right]$$

Definiendo:

$$F(x) = C(x) + iS(x) \quad (1)$$

Donde $C(x)$, $S(x)$ son las integrales de Fresnel

$$U(\mathbf{r}_t, z) = \frac{e^{ikz}}{2i} \left[F\left(\sqrt{\frac{2}{\lambda z}}(x - D_x)\right) - F\left(\sqrt{\frac{2}{\lambda z}}(x + D_x)\right) \right] \left[F\left(\sqrt{\frac{2}{\lambda z}}(y - D_y)\right) - F\left(\sqrt{\frac{2}{\lambda z}}(y + D_y)\right) \right]$$

1.2. Utilicen MATLAB para obtener las gráficas del perfil transversal de difracción para los valores de $N_f = [10, 5, 1, 0.1]$

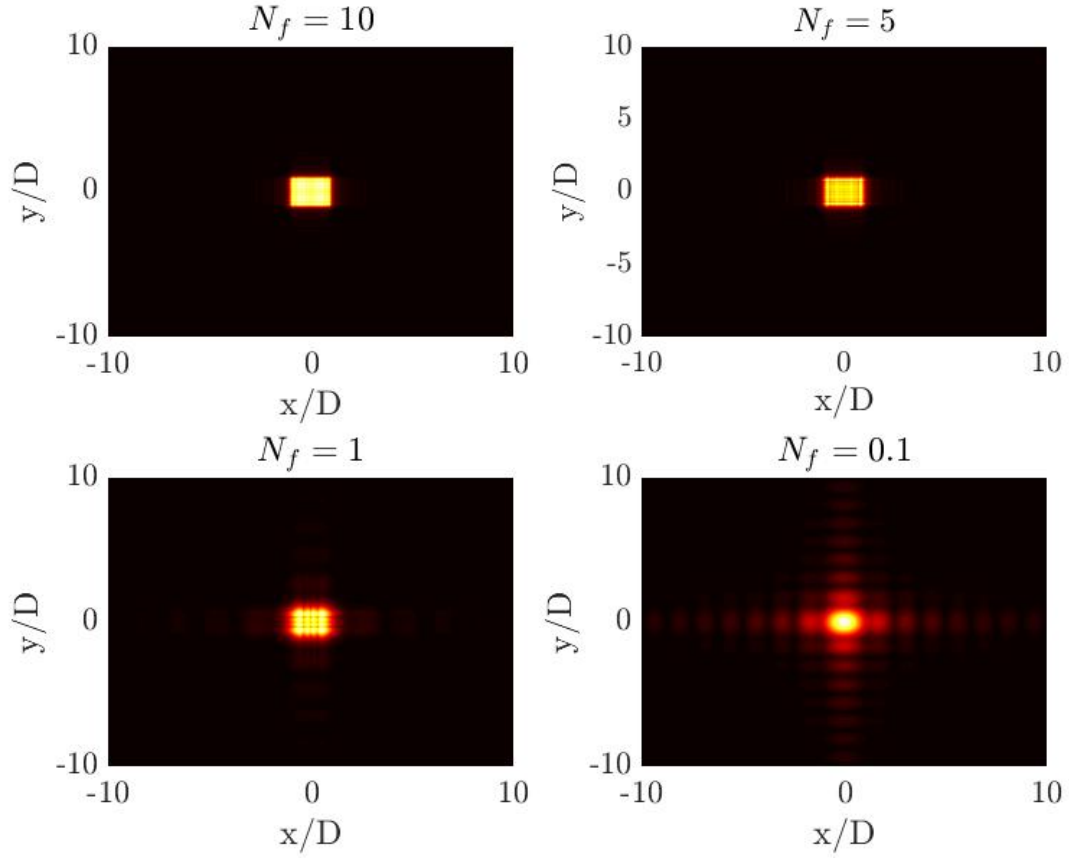


Figura 1: Perfil transversal de intensidad para los valores $N_f = [10, 5, 1, 0.1]$

- 1.3. Demuestren analíticamente que para valores de z pequeños la intensidad del haz difractado se asemeja a la forma de la apertura rectangular

c) Los integrales de Fresnel tienen la siguiente propiedad:

$$\lim_{v \rightarrow \infty} C(v) = \frac{1}{2}, \quad \lim_{v \rightarrow -\infty} C(v) = -\frac{1}{2}, \quad \lim_{v \rightarrow \infty} S(v) = \frac{1}{2}, \quad \lim_{v \rightarrow -\infty} S(v) = -\frac{1}{2}$$

Consideramos el caso $z \ll 1$, $x > D_x$, en la región a la derecha de la apertura. Como $x - D_x > 0$ y $x + D_x > 0$:

$$\lim_{z \rightarrow 0} U(\vec{r}, z) = g(y, z) \left[\underbrace{C(+\infty) - C(+\infty)}_{\frac{1}{2} - \frac{1}{2}} + i \underbrace{(S(+\infty) - S(+\infty))}_{\frac{1}{2} - \frac{1}{2}} \right] = 0$$

Para $x < -D_x$, en la región a la izquierda de la apertura, como $x - D_x < 0$ y $x + D_x < 0$:

$$\lim_{z \rightarrow 0} U(\vec{r}, z) = g(y, z) \left[\underbrace{C(-\infty) - C(-\infty)}_{-\frac{1}{2} - (-\frac{1}{2})} + i \underbrace{(S(-\infty) - S(-\infty))}_{-\frac{1}{2} - (-\frac{1}{2})} \right] = 0$$

Los mismos argumentos funcionan para $y > D_y$ y $y < -D_y$. Esto nos lleva a concluir que, para $z \ll 1$, $U = 0$ si $|x| > D_x$ o $|y| > D_y$. Ahora consideramos la región adentro de la apertura: $|x| < D_x$ y $|y| < D_y$.

Si $0 < x < D_x \rightarrow$ Esto implica: $x - D_x < 0$ y $x + D_x > 0$

$$\therefore \lim_{z \rightarrow 0} U = g(y, z) \left[C(-\infty) - C(+\infty) + i(S(-\infty) - S(+\infty)) \right] = -g(y, z)(1+i)$$

Si $-D_x < 0 < x \rightarrow$ Esto implica: $x - D_x < 0$ y $x + D_x > 0$

$$\therefore \lim_{z \rightarrow 0} U = -g(y, z)(1+i) \quad \text{Lo mismo ocurre para } |y| < D_y$$

$$\therefore \text{Para } |x| < D_x \text{ y } |y| < D_y, \quad \lim_{z \rightarrow 0} U = \frac{e^{ik_0 z}}{2i} (1+i)^2 = \text{constante}$$

$$\lim_{z \rightarrow 0} U = \begin{cases} 0, & |x| > D_x \text{ o } |y| > D_y \\ \frac{e^{ik_0 z}}{2i}, & |x| < D_x \text{ y } |y| < D_y \end{cases} = \boxed{e^{ik_0 z} \text{rect}\left(\frac{x}{D_x}\right) \text{rect}\left(\frac{y}{D_y}\right)}$$

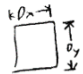
Podemos identificar

$$|U|^2 = \text{rect}^2\left(\frac{x}{D_x}\right) \text{rect}^2\left(\frac{y}{D_y}\right) \quad (2)$$

Es decir, se reduce a la forma de una apertura rectangular.

2. Apertura rectangular: Fraunhofer

2.1. Calculen el patrón de difracción de Fraunhofer de la apertura rectangular del problema 1. Hagan una gráfica del perfil transversal del campo difractado.

$$U_0(x_0, y_0, 0) = \text{rect}\left(\frac{x_0}{D_x}\right) \text{rect}\left(\frac{y_0}{D_y}\right)$$


$$\text{rect}\left(\frac{x}{D}\right) = \begin{cases} 1 & |x| \leq D/2 \\ 0 & |x| > D/2 \end{cases}$$

$$U(\vec{r}_e, z) = e^{\frac{ik_0}{2z}(x^2+y^2)} e^{\frac{ik_0 z}{\lambda z}} \iint_{-\infty}^{\infty} U_0(x_0, y_0, 0) e^{-i\pi(x_0 f_x + y_0 f_y)} dx_0 dy_0$$

$$f_x = \frac{x}{\lambda z} \quad f_y = \frac{y}{\lambda z}$$

$$\begin{aligned} \mathcal{F}\{U_0(x_0, y_0, 0)\} &= \int_{-\infty}^{\infty} \text{rect}\left(\frac{x_0}{D_x}\right) e^{-i2\pi x_0 f_x} dx_0 \int_{-\infty}^{\infty} \text{rect}\left(\frac{y_0}{D_y}\right) e^{-i2\pi y_0 f_y} dy_0 \\ &= \int_{-D_x/2}^{D_x/2} e^{-i2\pi x_0 f_x} dx_0 \int_{-D_y/2}^{D_y/2} e^{-i2\pi y_0 f_y} dy_0 \\ &= \left[\frac{e^{-i2\pi x_0 f_x}}{-i2\pi f_x} \right]_{-D_x/2}^{D_x/2} \left[\frac{e^{-i2\pi y_0 f_y}}{-i2\pi f_y} \right]_{-D_y/2}^{D_y/2} = \left[\frac{e^{-i\pi D f_x} - e^{i\pi D f_x}}{-i2\pi f_x} \right] \left[\frac{e^{-i\pi D f_y} - e^{i\pi D f_y}}{-i2\pi f_y} \right] \\ \text{aprox. de Fraunhofer} \Rightarrow & \boxed{U(\vec{r}_e) = D_x D_y \text{sinc}(\pi D f_x) \text{sinc}(\pi D f_y) \frac{e^{ik_0 z}}{\lambda z} e^{\frac{ik_0}{2z}(x^2+y^2)}} \end{aligned}$$

A continuación, se muestra una gráfica del perfil transversal en la zona de Fraunhofer, para un N_f dado.

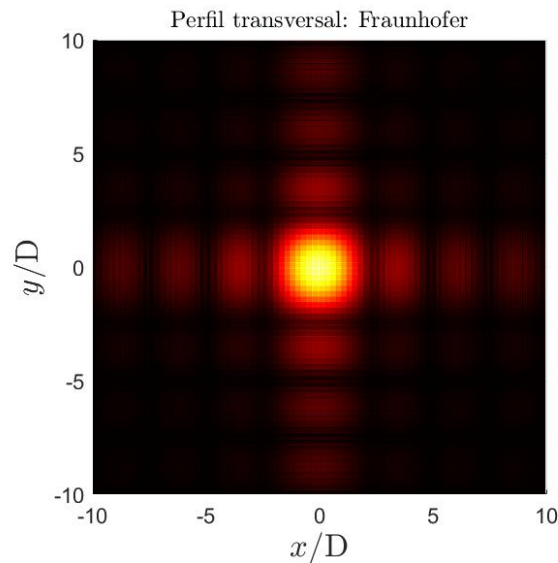


Figura 2: Perfil transversal de Fraunhofer para $N_f = 0,05$

3. Apertura circular: Fraunhofer

- 3.1. Calculen el patrón de difracción en la aproximación de Fraunhofer para el caso de una apertura circular de diámetro D , que es iluminada con una onda plana de amplitud unitaria. Hagan gráficas del patrón de difracción para distintos valores del diámetro de la apertura.

$$u(x_0, y_0, 0) = \text{circ}\left(\frac{r_0}{D/2}\right) \quad r = \sqrt{x^2 + y^2} \quad \text{circ}\left(\frac{r}{D/2}\right) = \begin{cases} 1 & |r| \leq D/2 \\ 0 & |r| > D/2 \end{cases}$$

Integral de Fraunhofer

$$u(\vec{r}_t, z) = e^{\frac{ik_0}{2z}(x^2 + y^2)} e^{\frac{ik_0 z}{2}} \iint_{-\infty}^{\infty} u_0(x_0, y_0, 0) e^{-i\pi(x_0 t_x + y_0 t_y)} dx_0 dy_0 \quad t_x = \frac{x}{\lambda z}, \quad t_y = \frac{y}{\lambda z}$$

$$x_0 = r_0 \cos \theta$$

$$F\{u_0\} = \int_0^{D/2} \int_0^{2\pi} e^{-i2\pi(r_0 \cos \theta t_x + r_0 \sin \theta t_y)} r_0 dr_0 d\theta$$

$$t_x = t_r \cos \alpha, \quad t_y = t_r \sin \alpha, \quad t_r = \sqrt{t_x^2 + t_y^2}, \quad \alpha = \tan^{-1}(t_y/t_x)$$

$$\int_0^{D/2} \int_0^{2\pi} e^{-i2\pi r_0 t_r (\cos \theta \cos \alpha + \sin \theta \sin \alpha)} r_0 dr_0 d\theta = \int_0^{D/2} \int_0^{2\pi} e^{-i2\pi r_0 t_r \cos(\theta - \alpha)} r_0 dr_0 d\theta$$

$$= \int_0^{D/2} \int_{-\pi}^{\pi} e^{-i2\pi r_0 t_r \cos \theta'} r_0 dr_0 d\theta' = 2\pi \int_0^{D/2} r_0 J_0(2\pi r_0 t_r) dr_0$$

$$\rho = -2\pi r_0 t_r, \quad r_0 = \frac{\rho}{-2\pi t_r}, \quad d\rho = -2\pi t_r dr_0, \quad dr_0 = \frac{d\rho}{-2\pi t_r}$$

$$= 2\pi \int_0^{2\pi t_r D/2} \frac{\rho}{-2\pi t_r} \frac{d\rho}{-2\pi t_r} J_0(\rho) = \frac{1}{2\pi (t_r)^2} \pi t_r D J_1(\pi D t_r) = \frac{\lambda D z}{2r} J_1\left(\frac{D \pi r}{\lambda z}\right)$$

$$J_0(-\lambda) = J_0(\lambda)$$

$$u(\vec{r}_t, z) = \frac{e^{\frac{ik_0}{2z}(x^2 + y^2)} e^{\frac{ik_0 z}{2}}}{i\lambda z} \left(\lambda z \frac{D}{2r} J_1\left(\frac{D \pi r}{\lambda z}\right) \right) = \boxed{e^{\frac{ik_0}{2z}(x^2 + y^2)} e^{\frac{ik_0 z}{2}} \frac{D}{i2r} J_1\left(\frac{D \pi r}{\lambda z}\right)}$$

$$U(\mathbf{r}_t, z) = \frac{D}{i2r} e^{\frac{ikr^2}{2z}} e^{ikz} J_1\left(\frac{D\pi r}{\lambda z}\right) \quad (3)$$

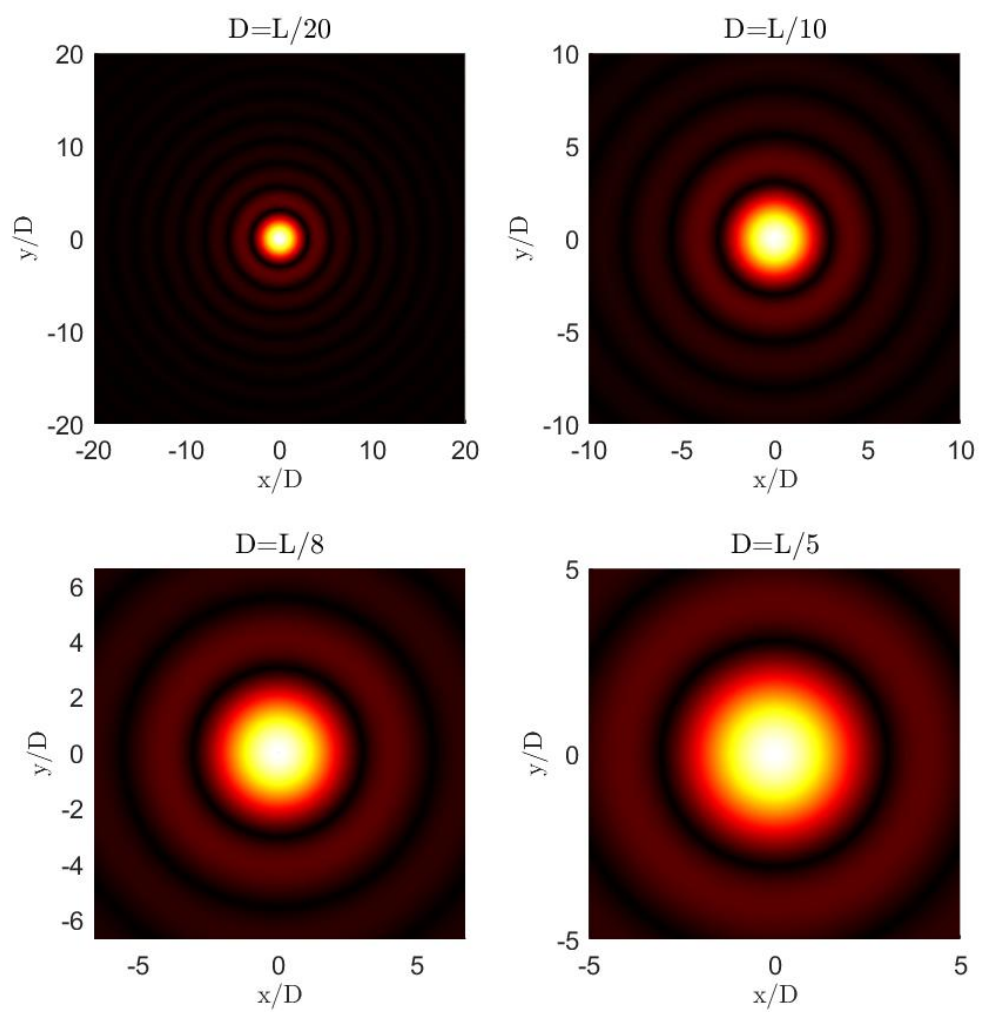


Figura 3: Patrón de intensidad transversal para distintos valores del diámetro

4. Lente delgada: Fourier

4.1. Una lente delgada tiene una función de transmitancia dada por:

$$t_1 = \exp \left[-i \frac{k}{2f} (x^2 + y^2) \right]$$

Demuestra que la distribución del campo en el plano focal de la lente es proporcional a la transformada de Fourier bidimensional.

4: $t_e = e^{-i \frac{k}{2f} (x^2 + y^2)}$

a) Integral de Fresnel: $U(\vec{r}_c, z) = \frac{e^{ikz}}{i\lambda z} \iint_{-\infty}^{\infty} U_0(x_0, y_0, 0) e^{i \frac{k}{2z} (x-x_0)^2 + (y-y_0)^2} dx_0 dy_0$

Al pasar por el lente $U(x_0, y_0, 0) = U(x_0, y_0) e^{-i \frac{k}{2f} (x_0^2 + y_0^2)}$

En el plano focal ($z=f$):

$$\therefore U(\vec{r}_c, f) = \frac{e^{ikf}}{i\lambda f} \iint_{-\infty}^{\infty} U(x_0, y_0) e^{-i \frac{k}{2f} (x_0^2 + y_0^2)} e^{i \frac{k}{2f} (x^2 - 2xx_0 + x_0^2 + y^2 - 2yy_0 + y_0^2)} dx_0 dy_0$$

$$= \frac{e^{ikf}}{i\lambda f} \iint_{-\infty}^{\infty} U(x_0, y_0) e^{-i \frac{k}{2f} (x_0^2 + y_0^2)} e^{-i \frac{k}{f} (xx_0 + yy_0)} dx_0 dy_0 = \underbrace{\frac{e^{ikf}}{i\lambda f} e^{-i \frac{k}{2f} (x^2 + y^2)}}_{g(x, y)} \iint_{-\infty}^{\infty} U(x_0, y_0) e^{-i \frac{k}{f} (xx_0 + yy_0)} dx_0 dy_0$$

Recordando la definición de la transformada de Fourier:

$$\tilde{F}(k_x, k_y) = \frac{1}{\sqrt{2\pi}} \iint_{-\infty}^{\infty} F e^{-i(k_x x + k_y y)} dx dy, \text{ reconocemos:}$$

$$\iint_{-\infty}^{\infty} U(x_0, y_0) e^{-i \left(\frac{k}{f} x x_0 + \frac{k}{f} y y_0 \right)} dx_0 dy_0 = \sqrt{2\pi} \tilde{F} \left(\frac{kx}{f}, \frac{ky}{f} \right) = \sqrt{2\pi} \tilde{f} \left(\frac{k}{f} \vec{r}_c \right)$$

$$\therefore U(\vec{r}_c, f) = \sqrt{2\pi} g(x, y) \tilde{f} \left(\frac{k}{f} \vec{r}_c \right) \propto \tilde{f} \left(\frac{k}{f} \vec{r}_c \right)$$

4.2. Asume que el campo incidente en la lente está dado por un haz gaussiano. Calcula la distribución del campo en el plano focal de la lente.

b) Usando el resultado anterior: $U(\vec{r}_0, f) = \sqrt{2\pi} \frac{e^{iK(f + \frac{x_0^2+y_0^2}{f})}}{i\lambda f} \tilde{f}\left(\frac{K}{f} \vec{r}_0\right)$

$$\tilde{f}\left(\frac{K}{f} \vec{r}_0\right) = \frac{U_0}{\sqrt{2\pi}} \int_{-\infty}^{\infty} \int_{-\infty}^{\infty} e^{-\frac{x_0^2+y_0^2}{2\omega_0^2}} e^{-\frac{iK}{f}(xx_0+yy_0)} dx_0 dy_0 = \frac{U_0}{\sqrt{2\pi}} \int_{-\infty}^{\infty} e^{-\frac{x_0^2}{2\omega_0^2} - \frac{iK}{f}xx_0} dx_0 \int_{-\infty}^{\infty} e^{-\frac{y_0^2}{2\omega_0^2} - \frac{iK}{f}yy_0} dy_0$$

$$\int_{-\infty}^{\infty} e^{-\frac{x_0^2}{2\omega_0^2} - \frac{iK}{f}xx_0} dx_0 = \int_{-\infty}^{\infty} e^{-\frac{1}{2\omega_0^2}x_0^2 - \frac{iK}{f}xx_0} dx_0 = \sqrt{2\pi}\omega_0 \int_{-\infty}^{\infty} e^{-u^2 - i\frac{\sqrt{2}K\omega_0}{f}xu} du = \sqrt{2\pi}\omega_0 \int_{-\infty}^{\infty} e^{-(u + \frac{iK\omega_0 x}{\sqrt{2}f})^2 - \frac{K^2\omega_0^2 x^2}{2f^2}} du$$

$$= \sqrt{2\pi}\omega_0 e^{-\frac{K^2\omega_0^2 x^2}{2f^2}} \int_{-\infty}^{\infty} e^{-(u + \frac{iK\omega_0 x}{\sqrt{2}f})^2} du \quad u + \frac{iK\omega_0 x}{\sqrt{2}f} = s \quad du = ds = \sqrt{2\pi}\omega_0 e^{-\frac{K^2\omega_0^2 x^2}{2f^2}} \int_{-\infty}^{\infty} e^{-s^2} ds = \sqrt{2\pi}\omega_0 e^{-\frac{K^2\omega_0^2 x^2}{2f^2}}$$

$$\therefore \tilde{f}\left(\frac{K}{f} \vec{r}_0\right) = \sqrt{2\pi}\omega_0^2 e^{-\frac{K^2\omega_0^2}{2f^2}(x^2+y^2)} \rightarrow \boxed{U(\vec{r}_0, f) = 2\pi \frac{e^{iK(f + \frac{x^2+y^2}{f})}}{i\lambda f} \omega_0^2 e^{-\frac{K^2\omega_0^2}{2f^2}(x^2+y^2)}}$$

4.3. ¿Qué puedes decir de la distribución del campo en el plano focal cuando $\omega_0 \rightarrow \infty$?

$$U(\vec{r}_0, z) = 2\pi \frac{e^{iK(f + \frac{x^2+y^2}{f})}}{i\lambda f} \left(\omega_0 e^{-\frac{K^2\omega_0^2}{2f^2}x^2} \right) \left(\omega_0 e^{-\frac{K^2\omega_0^2}{2f^2}y^2} \right) = \frac{4\pi^2 f}{i\lambda K^2} e^{iK(f + \frac{x^2+y^2}{f})} \left(\frac{K\omega_0}{\sqrt{2\pi}f} e^{-\frac{K^2\omega_0^2}{2f^2}x^2} \right) \left(\frac{K\omega_0}{\sqrt{2\pi}f} e^{-\frac{K^2\omega_0^2}{2f^2}y^2} \right)$$

Consideramos la función $f(x) = \frac{K\omega_0}{\sqrt{2\pi}f} e^{-\frac{K^2\omega_0^2}{2f^2}x^2}$

El área bajo la curva $\int_{-\infty}^{\infty} \frac{K\omega_0}{\sqrt{2\pi}f} e^{-\frac{K^2\omega_0^2}{2f^2}x^2} dx \quad u = \frac{K\omega_0}{\sqrt{2}f}x \quad du = \frac{K\omega_0}{\sqrt{2}f}dx$

$$= \frac{1}{\sqrt{\pi}} \int_{-\infty}^{\infty} e^{-u^2} du = \boxed{1}, \text{ independiente de } \omega_0.$$

Además, $\lim_{\omega_0 \rightarrow \infty} \left\{ \frac{K\omega_0}{\sqrt{2\pi}f} e^{-\frac{K^2\omega_0^2}{2f^2}x^2} \right\} = \begin{cases} \infty, & x=0 \\ 0, & x \neq 0 \end{cases}$

Estas propiedades definen una función delta de Dirac.

$$\therefore \lim_{\omega_0 \rightarrow \infty} \left\{ \frac{K\omega_0}{\sqrt{2\pi}f} e^{-\frac{K^2\omega_0^2}{2f^2}x^2} dx \right\} = \delta(x)$$

$$\lim_{\omega_0 \rightarrow \infty} U(\vec{r}_0, z) = \frac{4\pi^2 f}{i\lambda K^2} e^{iK(f + \frac{x^2+y^2}{f})} \lim_{\omega_0 \rightarrow \infty} \left\{ \frac{K\omega_0}{\sqrt{2\pi}f} e^{-\frac{K^2\omega_0^2}{2f^2}x^2} \right\} \lim_{\omega_0 \rightarrow \infty} \left\{ \frac{K\omega_0}{\sqrt{2\pi}f} e^{-\frac{K^2\omega_0^2}{2f^2}y^2} \right\}$$

$$= \frac{4\pi^2 f}{i\lambda K^2} e^{iK(f + \frac{x^2+y^2}{f})} \delta(x) \delta(y) = \boxed{\frac{4\pi^2 f}{i\lambda K^2} e^{iK(f + \frac{x^2+y^2}{f})} \delta(\vec{r}_0)}$$

La distribución del campo en el plano focal tiende a una distribución delta de Dirac.

5. Rejilla de amplitud cuadrada: Fresnel

5.1. Considera la función de transmitancia de una rejilla de amplitud cuadrada que está dada por:

$$t_A(x, y) = \left[\frac{1}{2} + \frac{m}{2} \cos 2\pi f_0 x \right] \text{rect}\left(\frac{x}{D}\right) \text{rect}\left(\frac{y}{D}\right)$$

Obtengan el patrón de difracción en la región de Fresnel para esta rejilla, y hagan gráficas en MATLAB del perfil de intensidad considerando los números de Fresnel del problema 1.

5. Integral de Fresnel: $U(x, y, z) = \frac{e^{ik_0 z}}{i\lambda z} \iint_{-\infty}^{\infty} U(x_0, y_0) e^{i\frac{k_0}{2z}[(x-x_0)^2 + (y-y_0)^2]} dx_0 dy_0$

$= \frac{e^{ik_0 z}}{i\lambda z} e^{i\frac{k_0}{2z}(x^2+y^2)} \iint_{-\infty}^{\infty} \left[\frac{1}{2} + \frac{m}{2} \cos(2\pi f_0 x_0) \right] \text{rect}\left(\frac{x_0}{D}\right) \text{rect}\left(\frac{y_0}{D}\right) e^{i\frac{k_0}{2z}(x_0^2+y_0^2)} e^{-i\frac{k_0}{z}(xx_0 + yy_0)} dx_0 dy_0$

$= \frac{e^{ik_0 z}}{i\lambda z} e^{i\frac{k_0}{2z}(x^2+y^2)} \mathcal{F} \left\{ \left(\frac{1}{2} + \frac{m}{2} \cos(2\pi f_0 x_0) \right) \text{rect}\left(\frac{x_0}{D}\right) \text{rect}\left(\frac{y_0}{D}\right) e^{i\frac{k_0}{2z}(x_0^2+y_0^2)} \right\} \left(\frac{k_0 x}{z}, \frac{k_0 y}{z} \right)$

$\rightarrow = \mathcal{F} \left\{ \left(\frac{1}{2} + \frac{m}{2} \cos(2\pi f_0 x_0) \right) \right\} * \mathcal{F} \left\{ \text{rect}\left(\frac{x_0}{D}\right) \text{rect}\left(\frac{y_0}{D}\right) e^{i\frac{k_0}{2z}(x_0^2+y_0^2)} \right\}$

① $\mathcal{F} \left\{ \frac{1}{2} + \frac{m}{2} \cos(2\pi f_0 x_0) \right\} = \frac{1}{\sqrt{2\pi}} \int_{-\infty}^{\infty} \left[\frac{1}{2} + \frac{m}{4} (e^{i2\pi f_0 x_0} + e^{-i2\pi f_0 x_0}) \right] e^{-i\frac{k_0 x}{z} x_0 + i\frac{k_0 y}{z} y_0} dx_0 dy_0$

$= \frac{1}{\sqrt{2\pi}} \int_{-\infty}^{\infty} \frac{1}{2} e^{-i\frac{k_0 x}{z} x_0} + \frac{m}{4} e^{i x_0 (2\pi f_0 - \frac{k_0}{z} x)} + \frac{m}{4} e^{-i x_0 (2\pi f_0 + \frac{k_0}{z} x)} dx_0 \int_{-\infty}^{\infty} e^{-i\frac{k_0 y}{z} y_0} dy_0$

$= \frac{1}{\sqrt{2\pi}} \left(\frac{1}{2} \delta\left(\frac{x}{\lambda z}\right) + \frac{m}{4} \delta\left(f_0 - \frac{x}{\lambda z}\right) + \frac{m}{4} \delta\left(f_0 + \frac{x}{\lambda z}\right) \right) \delta\left(\frac{y}{\lambda z}\right)$

$= \frac{(\lambda z)^2}{2\sqrt{2\pi}} \left[\delta(x) + \frac{m}{2} \delta(f_0 \lambda z - x) + \frac{m}{2} \delta(f_0 \lambda z + x) \right] \delta(y)$ Usando $\delta\left(\frac{x}{a}\right) = a \delta(x)$

② $\mathcal{F} \left\{ \text{rect}\left(\frac{x_0}{D}\right) \text{rect}\left(\frac{y_0}{D}\right) e^{i\frac{k_0}{2z}(x_0^2+y_0^2)} \right\} = \frac{1}{\sqrt{2\pi}} \int_{-D}^D \int_{-D}^D e^{-i\frac{k_0}{2z}(x_0^2+y_0^2)} e^{-i\frac{k_0 x}{z} x_0 + i\frac{k_0 y}{z} y_0} dx_0 dy_0$

$= \frac{1}{\sqrt{2\pi}} \int_{-D}^D e^{i\frac{2}{\lambda z} \left[\frac{\pi}{2} x_0^2 - \pi x_0 x \right]} dx_0 \int_{-D}^D e^{i\frac{2}{\lambda z} \left[\frac{\pi}{2} y_0^2 - \pi y_0 y \right]} dy_0$

$U = x_0 - x, \quad du = dx_0$

$\int_{-D}^D e^{i\frac{2}{\lambda z} \left(\frac{\pi}{2} (U+x)^2 - \pi x(U+x) \right)} du = \int_{-D-x}^{D-x} e^{i\frac{2}{\lambda z} \left(\frac{\pi}{2} u^2 - \frac{\pi}{2} x^2 \right)} du = \int_{-D-x}^{D-x} e^{i\frac{\pi}{\lambda z} u^2} e^{-i\frac{\pi}{\lambda z} x^2} du$

$= \frac{1}{\sqrt{2\pi}} e^{-i\frac{\pi}{\lambda z} x^2} \int_{-D-x}^{D-x} e^{i\frac{\pi}{\lambda z} u^2} du \int_{-D-y}^{D-y} e^{i\frac{\pi}{\lambda z} v^2} dv = \frac{\lambda z}{2} \frac{e^{-i\frac{\pi}{\lambda z}(x^2+y^2)}}{\sqrt{2\pi}} \left(F\left(\sqrt{\frac{2}{\lambda z}}(x+D)\right) - F\left(\sqrt{\frac{2}{\lambda z}}(x-D)\right) \right) \left(F\left(\sqrt{\frac{2}{\lambda z}}(y+D)\right) - F\left(\sqrt{\frac{2}{\lambda z}}(y-D)\right) \right)$

$= \text{①} * \text{②} = e^{ik_0 z} \left[F\left(\sqrt{\frac{2}{\lambda z}}(x-D)\right) - F\left(\sqrt{\frac{2}{\lambda z}}(x+D)\right) + \frac{m}{2} F\left(\sqrt{\frac{2}{\lambda z}}(x-D-f_0 \lambda z)\right) - \frac{m}{2} F\left(\sqrt{\frac{2}{\lambda z}}(x+D-f_0 \lambda z)\right) + \frac{m}{2} F\left(\sqrt{\frac{2}{\lambda z}}(x-D+f_0 \lambda z)\right) - \frac{m}{2} F\left(\sqrt{\frac{2}{\lambda z}}(x+D+f_0 \lambda z)\right) \right] * \left[F\left(\sqrt{\frac{2}{\lambda z}}(y-D)\right) - F\left(\sqrt{\frac{2}{\lambda z}}(y+D)\right) \right]$

Recorriendo en las deltas

$$\begin{aligned}
U(\mathbf{r}_t, z) \propto & \left[F\left(\sqrt{\frac{2}{\lambda z}}(x - D)\right) - F\left(\sqrt{\frac{2}{\lambda z}}(x + D)\right) + \frac{m}{2}F\left(\sqrt{\frac{2}{\lambda z}}(x - D - f_o \lambda z)\right) - \right. \\
& \left. \frac{m}{2}F\left(\sqrt{\frac{2}{\lambda z}}(x + D - f_o \lambda z)\right) + \frac{m}{2}F\left(\sqrt{\frac{2}{\lambda z}}(x - D + f_o \lambda z)\right) - \frac{m}{2}F\left(\sqrt{\frac{2}{\lambda z}}(x + D + f_o \lambda z)\right) \right] \\
& \times \left[F\left(\sqrt{\frac{2}{\lambda z}}(y - D)\right) - F\left(\sqrt{\frac{2}{\lambda z}}(y + D)\right) \right] \quad (4)
\end{aligned}$$

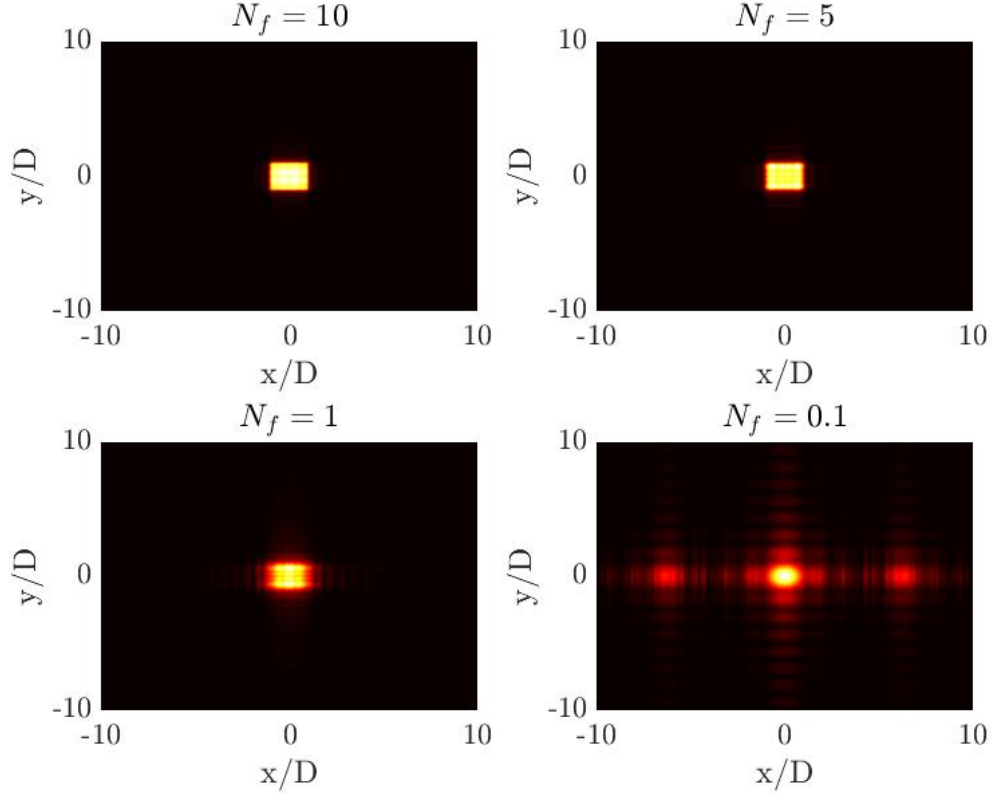


Figura 4: Gráficas de intensidad transversal generadas considerando $m = 0,8$, $(f_0 D) = 2,5$

5.2. Determinen la intensidad del patrón de difracción a una determinada distancia z que satisface la condición

$$z = \frac{2n}{\lambda f_0^2} \quad (5)$$

Donde n es un número entero. Las distancias que cumplen con esta condición dan origen a las imágenes de Talbot.

$$|U(\mathbf{r}_t, \frac{2n}{\lambda f_0})|^2 \propto \left| \left[F\left(\frac{f_0}{\sqrt{n}}(x-D)\right) - F\left(\frac{f_0}{\sqrt{n}}(x+D)\right) + \frac{m}{2} F\left(\frac{f_0}{\sqrt{n}}(x-D - \frac{2n}{f_0})\right) - \frac{m}{2} F\left(\frac{f_0}{\sqrt{n}}(x+D - \frac{2n}{f_0})\right) + \frac{m}{2} F\left(\frac{f_0}{\sqrt{n}}(x-D + \frac{2n}{f_0})\right) - \frac{m}{2} F\left(\frac{f_0}{\sqrt{n}}(x+D + \frac{2n}{f_0})\right) \right] \times \left[F\left(\frac{f_0}{\sqrt{n}}(y-D)\right) - F\left(\frac{f_0}{\sqrt{n}}(y+D)\right) \right] \right|^2 \quad (6)$$

6. Rejilla de apertura cuadrada: Fraunhofer

- 6.1. Calculen el patrón de difracción de Fraunhofer para una rejilla de fase limitada por una apertura cuadrada. La función de transmitancia de la rejilla está dada por

$$t(x, y) = \exp[-i \frac{m}{2} \sin 2\pi f_0 x] \text{rect}\left(\frac{x}{D}\right) \text{rect}\left(\frac{y}{D}\right)$$

función de transmitancia de la rejilla

$$t(x, y) = \exp\left[i \frac{m}{2} \sin(2\pi f_0 x)\right] \text{rect}\left(\frac{x}{D}\right) \text{rect}\left(\frac{y}{D}\right)$$

Integral de Fraunhofer $g(x, y)$ $h(x, y)$

$$U(\mathbf{r}_t, z) = \frac{e^{ikz}}{i\lambda z} \iint_{-\infty}^{\infty} e^{i \frac{m}{2} \sin(2\pi f_0 x)} \text{rect}\left(\frac{x}{D}\right) \text{rect}\left(\frac{y}{D}\right) e^{-i2\pi(x_0 x + y_0 y)} dx dy_0$$

$$U(x, y, z) = \frac{e^{ikz}}{i\lambda z} e^{i \frac{m}{2} \sin(2\pi f_0 x)} \mathcal{F}\{t(x_0, y_0)\} = \mathcal{F}\{g(x_0, y_0)\} * \mathcal{F}\{h(x_0, y_0)\}$$

$$\mathcal{F}\left\{\text{rect}\left(\frac{x}{D}\right) \text{rect}\left(\frac{y}{D}\right)\right\} = D^2 \text{sinc}(\pi D f_x) \text{sinc}(\pi D f_y)$$

$$\begin{aligned} \mathcal{F}\{g\} &= \frac{1}{i\lambda z} \iint_{-\infty}^{\infty} e^{i \frac{m}{2} \sin(2\pi f_0 x)} e^{-i2\pi(x_0 x + y_0 y)} dx dy_0 \\ &= \frac{1}{i\lambda z} \iint_{-\infty}^{\infty} \sum_{n=-\infty}^{\infty} J_n\left(\frac{m}{2}\right) e^{in(2\pi f_0 x_0) - i2\pi(x_0 x + y_0 y)} dx dy_0 = \frac{1}{i\lambda z} \sum_{n=-\infty}^{\infty} J_n\left(\frac{m}{2}\right) e^{i2\pi x_0(n f_0 - f_x)} \int_{-\infty}^{\infty} e^{-i2\pi f_y y_0} dy_0 \\ &= \frac{1}{i\lambda z} \sum_{n=-\infty}^{\infty} J_n\left(\frac{m}{2}\right) \delta(f_x - n f_0, f_y) \end{aligned}$$

$$\begin{aligned} \mathcal{F}\{g\} * \mathcal{F}\{h\} &= D^2 \text{sinc}(\pi D f_x) \text{sinc}(\pi D f_y) \frac{1}{i\lambda z} \sum_{n=-\infty}^{\infty} J_n\left(\frac{m}{2}\right) \delta(f_x - n f_0, f_y) \quad f_x = \frac{x}{\lambda z} \\ &= \sum_{n=-\infty}^{\infty} \frac{D^2}{i\lambda z} \text{sinc}[\pi D(f_x - n f_0)] \text{sinc}(\pi D f_y) J_n\left(\frac{m}{2}\right) \quad f_y = \frac{y}{\lambda z} \end{aligned}$$

$$U(\mathbf{r}_t, z) = e^{ikz} e^{i \frac{m}{2} \sin(2\pi f_0 x)} \frac{D^2}{i\lambda z} \sum_{n=-\infty}^{\infty} J_n\left(\frac{m}{2}\right) \text{sinc}[\pi D(f_x - n f_0)] \text{sinc}(\pi D f_y)$$

- 6.2. Hagan una gráfica del perfil de intensidad usando MATLAB, y comenten cómo está distribuida la energía del campo en los distintos órdenes de difracción.

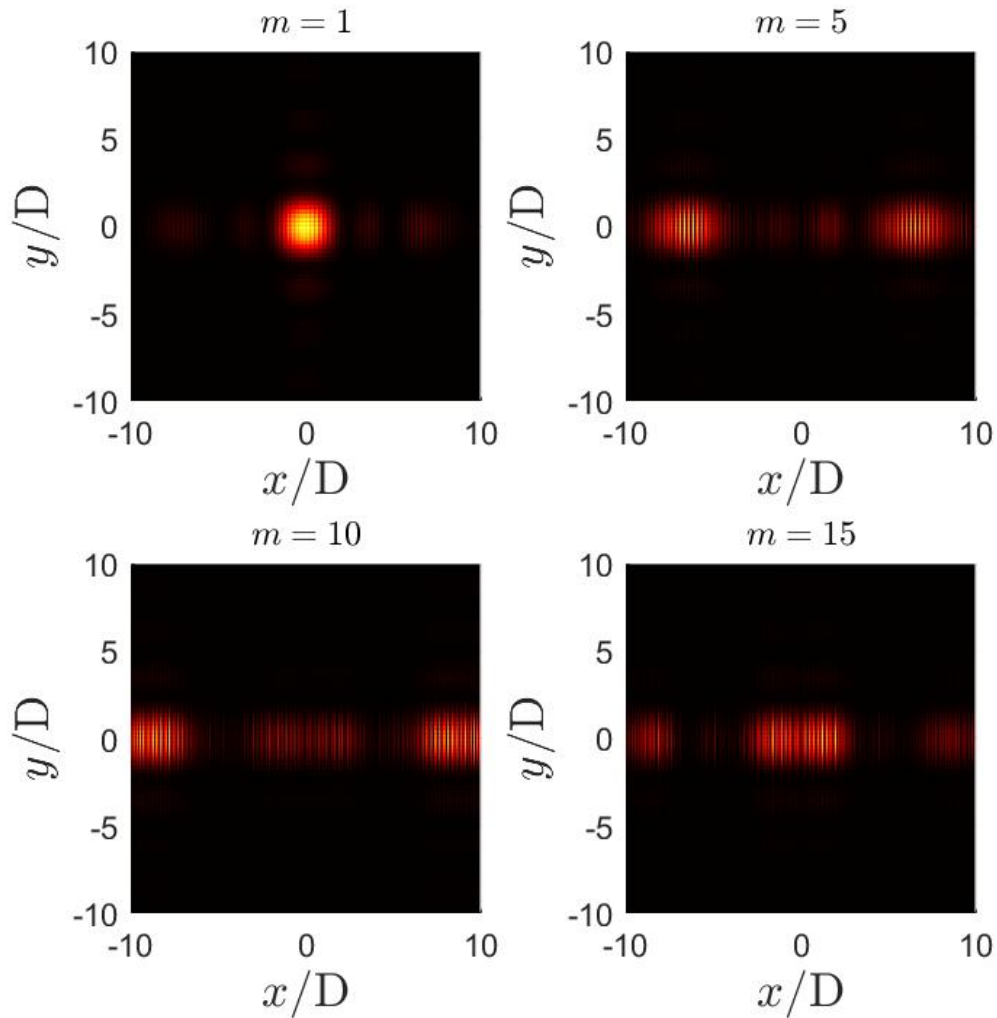


Figura 5: Perfil transversal de intensidad para diferentes valores de m

Como se aprecia en la figura, mientras incrementa m , la energía parece estar menos localizada en el centro de la imagen y más distribuida en las regiones laterales. Para el modo $m = 1$, la energía parece estar del todo localizada en el origen. Para el modo $m = 20$, parecería que la energía está distribuida de forma más equitativa entre las regiones laterales.

7. Fresnel y Fraunhofer

7.1. Calculen el patrón de difracción de Fraunhofer para las siguientes dos aperturas. Apertura rectangular:

Integral de Fraunhofer

$$U(\vec{r}_t, z) = e^{\frac{ik_0}{2z}(x^2+y^2)} \frac{e^{ik_0 z}}{\lambda z} \iint_{-\infty}^{\infty} U_0(x_0, y_0, 0) e^{-i2\pi(x_0 f_x + y_0 f_y)} dx_0 dy_0$$

Diagrama de una apertura rectangular con anchuras D_1 y D_2 .

$$U_0 = \begin{cases} 1 & D_1 > |x| > D_2 \\ 0 & D_2 > |x| \end{cases}$$

$$U(\vec{r}_t, z) \propto \underbrace{\int_{-D_1/2}^{D_1/2} e^{-i2\pi x_0 f_x} dx_0}_{(1)} \underbrace{\int_{-D_2/2}^{D_2/2} e^{-i2\pi y_0 f_y} dy_0}_{(2)}$$

$$= \text{rect}\left(\frac{x}{D_1}\right) \text{rect}\left(\frac{y}{D_2}\right) = \text{rect}\left(\frac{x}{D_1}\right) \text{rect}\left(\frac{y}{D_2}\right)$$

Basándose en el q 2

$$\begin{aligned} (1) & D_1^2 \left[\text{sinc}(\pi D_1 f_x) \text{sinc}(\pi D_1 f_y) \right] \\ (2) & D_2^2 \left[\text{sinc}(\pi D_2 f_x) \text{sinc}(\pi D_2 f_y) \right] \end{aligned}$$

entonces

$$U(\vec{r}_t, z) = e^{\frac{ik_0}{2z}(x^2+y^2)} \frac{e^{ik_0 z}}{\lambda z} \left[D_1^2 \text{sinc}(\pi D_1 f_x) \text{sinc}(\pi D_1 f_y) - D_2^2 \text{sinc}(\pi D_2 f_x) \text{sinc}(\pi D_2 f_y) \right]$$

$f_x = \frac{x}{\lambda z}$

El patrón de difracción de Fraunhofer para una apertura circular de diámetro exterior D_1 e interior D_2 está dado por:

$$U(\mathbf{r}_t, z) = \frac{1}{iz} e^{i\frac{k_0 r^2}{2z}} e^{ik_0 z} \left[D_1^2 \text{sinc}\left(\frac{\pi D_1 x}{z}\right) \text{sinc}\left(\frac{\pi D_1 y}{\lambda z}\right) - D_2^2 \text{sinc}\left(\frac{\pi D_2 x}{\lambda z}\right) \text{sinc}\left(\frac{\pi D_2 y}{\lambda z}\right) \right] \quad (7)$$

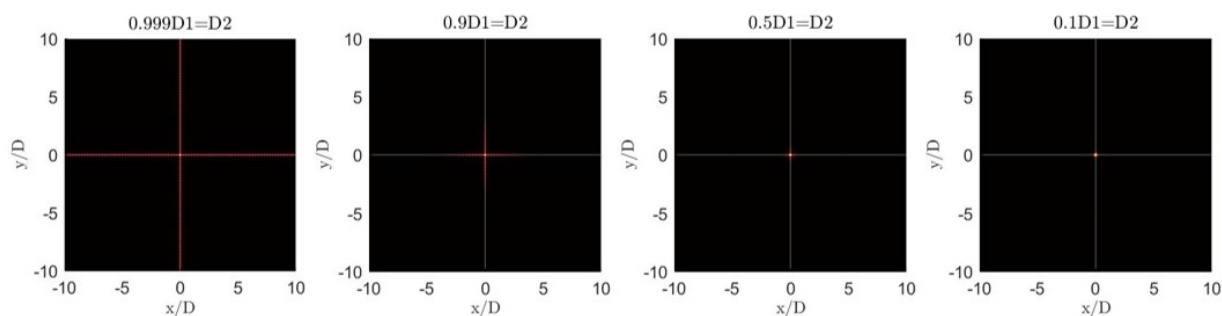


Figura 6: Gráficas de intensidad transversal para una apertura rectangular en la zona de Fresnel, $N_f = 1$

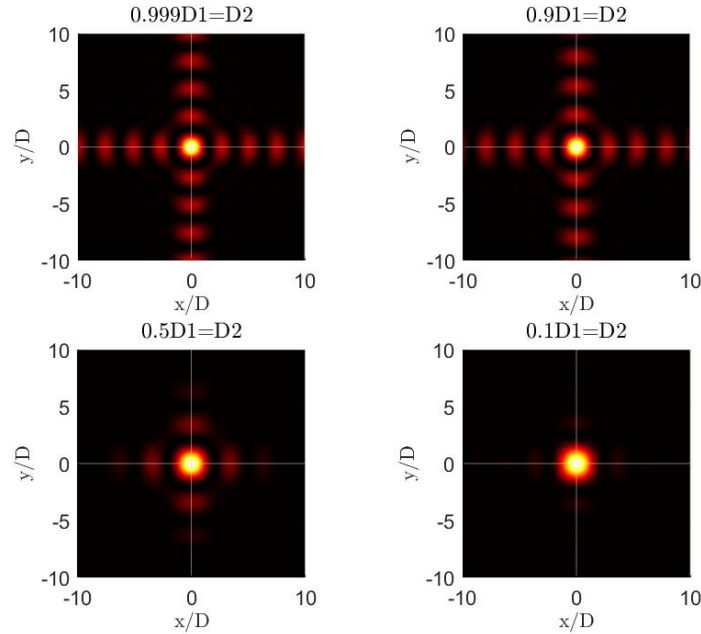


Figura 7: Gráficas de intensidad transversal para una apertura rectangular en la zona de Fraunhofer, $N_f = 0,1$

7.2. Apertura circular

similar al Ej. 3

Diagrama de una apertura circular anular con diámetros D_1 (externo) y D_2 (interno).

$$u_0 = \begin{cases} 1 & D_2 < r < D_1 \\ 0 & r < D_2 \end{cases}$$

$$u_0 = \text{arc}\left(\frac{r}{D_1}\right) - \text{arc}\left(\frac{r}{D_2}\right)$$

$$\text{arc}\left(\frac{r}{D}\right) = \begin{cases} 1 & |r| \leq D/2 \\ 0 & |r| > D/2 \end{cases}$$

$$f_v = \frac{r}{\lambda z}$$

$$p = 2\pi r f_v$$

$$dp = 2\pi r dr$$

$$u(r_0, z) = \alpha \int_{D_2/2}^{D_1/2} \int_0^{2\pi} e^{-i2\pi r f_v \cos\theta'} r dr d\theta'$$

$$\propto 2\pi \int_{D_2/2}^{D_1/2} J_0(-2\pi r f_v) r dr$$

$$\propto \frac{2\pi}{(2\pi f_v)^2} \left[\int_0^{\pi f_v D_1} J_0(2\pi r f_v) - \int_0^{\pi f_v D_2} J_0(2\pi r f_v) \right]$$

$$\propto \frac{1}{\pi} \left(\frac{\lambda z}{r} \right)^2 \left[\pi f_v D_1 J_1(\pi D_1 f_v) - \pi f_v D_2 J_1(\pi D_2 f_v) \right]$$

$$\propto \frac{\lambda z}{2r} \left[D_1 J_1\left(\frac{\pi D_1 r}{\lambda z}\right) - D_2 J_1\left(\frac{\pi D_2 r}{\lambda z}\right) \right]$$

$$u(r_0, z) = e^{\frac{i k_0}{2z}(x^2+y^2)} e^{i k_0 z} \frac{1}{i 2r} \left[D_1 J_1\left(\frac{\pi D_1 r}{\lambda z}\right) - D_2 J_1\left(\frac{\pi D_2 r}{\lambda z}\right) \right]$$

El patrón de difracción de Fraunhofer para una apertura circular de diámetro exterior D_1 e interior D_2 está dado por:

$$U(\mathbf{r}_t, z) = \frac{1}{i2r} e^{i\frac{kr^2}{2z}} e^{ikz} \left[D_1 J_1\left(\frac{D_1 \pi r}{\lambda z}\right) - D_2 J_1\left(\frac{D_2 \pi r}{\lambda z}\right) \right] \quad (8)$$

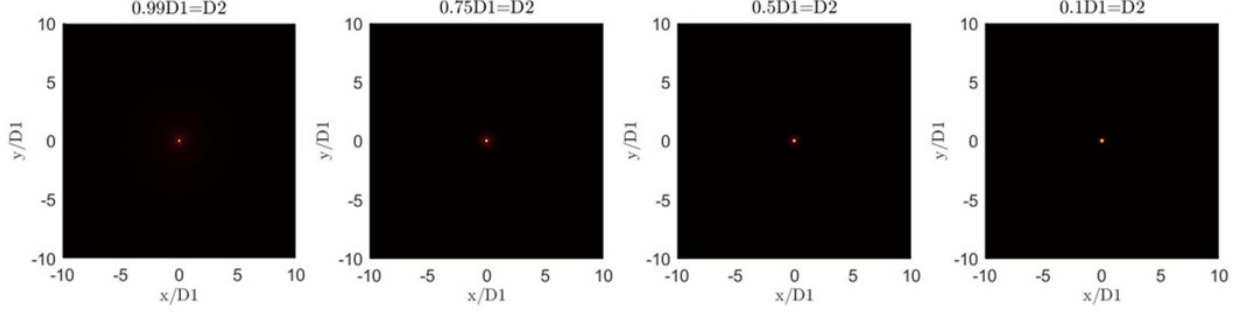


Figura 8: Gráficas de intensidad transversal para una apertura circular en la zona de Fresnel, $N_f = 1$

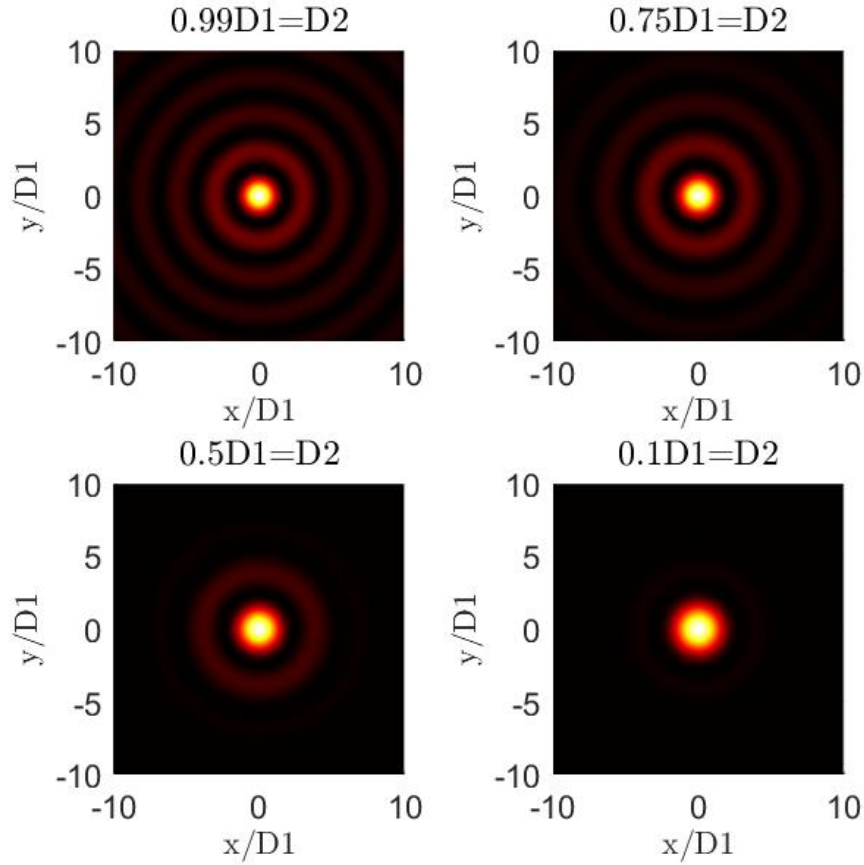


Figura 9: Gráficas de intensidad transversal para una apertura circular en la zona de Fraunhofer, $N_f = 0,1$

8. Código de Matlab

8.1. Problema 1

```
1 N = 2^9;
2 x = linspace(-30,30,N+1);
3 y = linspace(-30,30,N+1);
4 Nf = 5; %Cambiar
5 [X,Y] = meshgrid(x,-y);
6 setlatex();
7
8 U1 = fresnelc(2*sqrt(2*Nf)*(x-1)) - fresnelc(2*sqrt(2*Nf)*(x+1)) + 1i*(
    fresnels(2*sqrt(2*Nf)*(X-1)) - fresnels(2*sqrt(2*Nf)*(X+1)));
9 U = (1/(2*1i))*(U1'*U1);
10
11 subplot(2,2,2); %Cambiar
12 surf(X,Y,abs(U));
13 view(2), colormap(hot), shading interp;
14 title('$N_f=\square 5$'); %Cambiar
15
16 xlabel('x/D'), ylabel('y/D');
17 xlim([-10,10]),ylim([-10,10]);
```

8.2. Problema 2

```
1 % Propagador de Fourier
2 clear all; close all;
3 set(0,'defaultTextInterpreter','latex');
4
5 N = 2^9; % Numero de puntos, escogemos una potencia de 2
6 % para que el calculo de la transformada sea
    m s
7 % r pido
8
9 % Creamos el vector de indices
10 NV = (-N/2:1:N/2-1); % Con esto nos aseguramos de tener la
    frecuencia 0
11 % y de que NV tiene N elementos
12 L = 1e-3; % Las unidades son metros
13 dx = 2*L/N;
14 kmax = pi/dx;
15 [X,Y] = meshgrid(NV*dx);
16 %r = sqrt(X.^2+Y.^2);
17 [Kx,Ky] = meshgrid(kmax*2/N*NV);
18
19 lambda = 633e-9;
20 k = 2*pi/lambda;
21 kt = sqrt(Kx.^2+Ky.^2);
22
23
24 Nf = 0.05;
25
```

```

26 D = L/10;
27 z = D.^2/(4*lambda*Nf);           %Distancia de propagaci n maxima
28 nz = 300;
29 dz = z/nz;
30
31 %***** Propagador
   %*****
32 Prop = (exp(-1i*0.5*dz*(kt.^2)/k)); %Full paraxial propagator
33 %Prop = exp(i*dz*sqrt(k^2-kt.^2)); %Non paraxial propagator
34
35 %***** Perfil Inicial
   %*****
36 Tlens = 1;           %Funci n de transmitacia
37
38 U0=zeros(N);
39 U0(floor(N/2-N*D/(2*L)):floor(N/2+N*D/(2*L)),floor(N/2-N*D/(2*L)):floor
   (N/2+N*D/(2*L)))=1;
40 U0 = U0.*Tlens;
41 Ur(:,1) = U0(:,N/2+1);
42
43 %***** Inicia la propagacion
   %*****
44 F = fftshift(fft2(U0));
45 for ii=1:nz
46     F = F.*Prop;
47     A = ifft2(F);
48     Ur(:,ii+1)=A(:,N/2+1);
49 end
50
51 %***** Grafica del campo inicial
   %*****
52 figure(1),surf(X(N/2+1,:)/D,Y(:,N/2+1)/D,abs(A));shading interp,
   lighting phong, colormap hot, view(2)
53 ejes = gca;
54 ejes.FontSize = 13;
55 title('Perfil transversal: Fraunhofer')
56 xlabel('$x$/D','FontSize',20);
57 ylabel('$y$/D','FontSize',20);
58 axis square;

```

8.3. Problema 3

```

1 % Propagador de Fourier
2 clear all; close all;
3 set(0,'defaultTextInterpreter','latex');
4
5 N = 2^10;           % Numero de puntos, escogemos una potencia de
   2
6                       % para que el calculo de la transformada sea
   m s
7                       % r pido
8

```

```

9  % Creamos el vector de indices
10 NV = (-N/2:1:N/2-1);      % Con esto nos aseguramos de tener la
    frecuencia 0
11                                % y de que NV tiene N elementos
12 L = 1e-3;                  % Las unidades son metros
13 dx = 2*L/N;
14 kmax = pi/dx;
15 [X,Y] = meshgrid(NV*dx);
16 r = sqrt(X.^2+Y.^2);
17 lambda = 633e-9;
18 k = 2*pi/lambda;
19
20 for n=1:4
21     a=20;
22     if n==1
23         a = 20;
24     elseif n==2
25         a = 10;
26     elseif n==3
27         a = 8;
28     elseif n==4
29         a = 5;
30     end
31
32 Nf = 0.1;
33 D = L/a;
34 z = (L/a).^2/(4*lambda*Nf);    %Distancia de propagaci n maxima
35
36 A=-1i*D./(2*r).*besselj(1,D*pi*r./(lambda.*z)).*exp(1i*k*r.^2./(2*z)).*
    exp(1i*k*z);
37 %***** Grafica del campo inicial
    %*****
38 figure(1),subplot(2,2,n),surf(X(N/2+1,:)*a/L,Y(:,N/2+1)*a/L,abs(A));
    shading interp,lighting phong, colormap hot, view(2)
39 ejes = gca;
40 ejes.FontSize = 13;
41 title('D=L/'+string(a))
42 xlabel('x/D','FontSize',13);
43 ylabel('y/D','FontSize',13);
44 axis square;
45 end

```

8.4. Problema 5

```

1  N = 2^7;
2  x = linspace(-10,10,N+1);
3  y = linspace(-10,10,N+1);
4  Nf = 5; %Cambiar
5  l = 10;
6  z = 1/(4*l*Nf);
7  p = 2.5; %fOD >> 1/2
8  m = 0.8; %0 < m < 1

```

```

9  [X,Y] = meshgrid(x,-y);
10 setlatex();
11 F = @(x)fresnelc(x) + 1i*fresnels(x);
12
13 U = (F(2*sqrt(2*Nf)*(X - 1)) - F(2*sqrt(2*Nf)*(X + 1)) + (m/2)...
14      .*(F(2*sqrt(2*Nf)*(X - 1 - p/(4*Nf))) - F(2*sqrt(2*Nf)*(X + 1 - p
15          /(4*Nf)))) +...
16      F(2*sqrt(2*Nf)*(X - 1 + p/(4*Nf))) - F(2*sqrt(2*Nf)*(X + 1 + p/(4*
17          Nf)))))...
18      .*(F(2*sqrt(2*Nf)*(Y - 1)) - F(2*sqrt(2*Nf)*(Y + 1))));
19
20 subplot(2,2,2); %Cambiar
21 surf(X,Y,abs(U));
22 view(2), colormap(hot), shading interp;
23 title('$N_f=\square5$'); %Cambiar
24 xlabel('x/D'), ylabel('y/D');
25 xlim([-10,10]),ylim([-10,10]);

```

8.5. Problema 6

```

1  % Propagador de Fourier
2  clear all; close all;
3  set(0,'defaultTextInterpreter','latex');
4
5  N = 2^9; % Numero de puntos, escogemos una potencia de 2
6           % para que el calculo de la transformada sea
7           % r pido
8
9  % Creamos el vector de indices
10 NV = (-N/2:1:N/2-1); % Con esto nos aseguramos de tener la
    frecuencia 0
11 % y de que NV tiene N elementos
12 L = 1e-3; % Las unidades son metros
13 dx = 2*L/N;
14 kmax = pi/dx;
15 [X,Y] = meshgrid(NV*dx);
16 %r = sqrt(X.^2+Y.^2);
17 [Kx,Ky] = meshgrid(kmax*2/N*NV);
18
19 lambda = 633e-9;
20 k = 2*pi/lambda;
21 kt = sqrt(Kx.^2+Ky.^2);
22
23 Nf = 0.05;
24 D = L/10;
25 z = D.^2/(4*lambda*Nf); %Distancia de propagaci n maxima
26 nz = 300;
27 dz = z/nz;
28
29 %***** Propagador
    *****

```

```

30 Prop = (exp(-1i*0.5*dz*(kt.^2)/k));           %Full paraxial propagator
31 %Prop = exp(i*dz*sqrt(k^2-kt.^2));           %Non paraxial propagator
32
33 %***** Perfil Inicial
34 %*****
34 for n=1:4
35 m=1;
36 if n==1
37     m = 1;
38 elseif n==2
39     m = 5;
40 elseif n==3
41     m = 10;
42 elseif n==4
43     m = 15;
44 end
45
46
47 Ui=zeros(N);
48 Ui(floor(N/2-N*D/(2*L)):floor(N/2+N*D/(2*L)),floor(N/2-N*D/(2*L)):floor
    (N/2+N*D/(2*L)))=1;
49 f0=51;
50 Tlens = exp(1i*m/2*sin(2*pi*f0*Nv/N));           %Funci n de transmitacia
51
52 U0 = Ui.*Tlens;
53 Ur(:,1) = U0(:,N/2+1);
54
55 %***** Inicia la propagacion
56 %*****
56 F = fftshift(fft2(U0));
57 for ii=1:nz
58     F = F.*Prop;
59     A = ifft2(F);
60     Ur(:,ii+1)=A(:,N/2+1);
61 end
62 I = A.*conj(A);
63 %***** Grafica del campo inicial
64 %*****
64 figure(1),subplot(2,2,n),surf(X(N/2+1,:)/D,Y(:,N/2+1)/D,abs(I));shading
    interp,lighting phong,colormap hot, view(2)
65 ejes = gca;
66 ejes.FontSize = 13;
67
68 if n==1
69     title('$m_{\square}=1$')
70 elseif n==2
71     title('$m_{\square}=5$')
72 elseif n==3
73     title('$m_{\square}=10$')
74 elseif n==4
75     title('$m_{\square}=15$')
76 end
77 xlabel('$x$/D','FontSize',20);
78 ylabel('$y$/D','FontSize',20);

```

```

79 axis square;
80
81 end

```

8.6. Problema 7

```

1  % Propagador de Fourier
2  clear all; close all;
3  set(0,'defaultTextInterpreter','latex');
4
5  N = 2^10;                % Numero de puntos, escogemos una potencia de
    2
6                          % para que el calculo de la transformada sea
    m s
7                          % rapido
8
9  % Creamos el vector de indices
10 NV = (-N/2:1:N/2-1);    % Con esto nos aseguramos de tener la
    frecuencia 0
11                          % y de que NV tiene N elementos
12 L = 1e-3;                % Las unidades son metros
13 dx = 2*L/N;
14 kmax = pi/dx;
15 [X,Y] = meshgrid(NV*dx);
16 r = sqrt(X.^2+Y.^2);
17 lambda = 633e-9;
18 k = 2*pi/lambda;
19
20
21 for n=1:4
22     if n==1
23         a = 0.001;
24     elseif n==2
25         a = 0.1;
26     elseif n==3
27         a = 0.5;
28     elseif n==4
29         a = 0.9;
30     end
31
32 D1 = L/10;
33 D2 = L/10.*(1-a);
34
35 Nf = 1;
36 z = D1.^2/(4*lambda*Nf); %Distancia de propagaci n maxima
37
38 A=-1i./(lambda*z).*exp(1i*k*r.^2./(2*z)).*exp(1i*k*z)...
39     *(D1^2.*sin(pi*D1.*X/(lambda*z))./(pi*D1.*X/(lambda*z)).*sin(pi*
    D1.*Y/(lambda*z))./(pi*D1.*Y/(lambda*z)))-...
40     D2^2.*sin(pi*D2.*X/(lambda*z))./(pi*D2.*X/(lambda*z)).*sin(pi*D2.*Y
    /(lambda*z))./(pi*D2.*Y/(lambda*z)));
41 %***** Grafica del campo inicial
    *****

```



```

42 figure(1),subplot(2,2,n),surf(X(N/2+1,:)/D1,Y(:,N/2+1)/D1,abs(A));
    shading interp,lighting phong, colormap hot, view(2)
43 ejes = gca;
44 ejes.FontSize = 13;
45 title('D1-D2='+string(a))
46 xlabel('x/D','FontSize',13);
47 ylabel('y/D','FontSize',13);
48 axis square;
49 end

```

```

1  % Propagador de Fourier
2  clear all; close all;
3  set(0,'defaultTextInterpreter','latex');
4
5  N = 2^10;                % Numero de puntos, escogemos una potencia de
    2
6
    % para que el calculo de la transformada sea
    m s
7    % rapido
8
9  % Creamos el vector de indices
10 NV = (-N/2+1:N/2-1);    % Con esto nos aseguramos de tener la
    frecuencia 0
11
    % y de que NV tiene N elementos
12 L = 1e-3;                % Las unidades son metros
13 dx = 2*L/N;
14 kmax = pi/dx;
15 [X,Y] = meshgrid(NV*dx);
16 r = sqrt(X.^2+Y.^2);
17 lambda = 633e-9;
18 k = 2*pi/lambda;
19
20 for n=1:4
21     a=20;
22     if n==1
23         a = 0.001;
24     elseif n==2
25         a = 0.1;
26     elseif n==3
27         a = 0.5;
28     elseif n==4
29         a = 1;
30     end
31
32
33 D1 = L/10;
34 D2 = L/10.*(1-a);
35
36 Nf = 0.1;
37 z = D1.^2/(4*lambda*Nf);    %Distancia de propagaci n maxima
38
39 A=-1i./(2*r).*exp(1i*k*r.^2./(2*z)).*exp(1i*k*z).*(D1*besselj(1,D1*pi*r
    ./(lambda.*z))-D2*besselj(1,D2*pi*r./(lambda.*z)));
40 %***** Grafica del campo inicial

```

```

*****
41 figure(1),subplot(2,2,n),surf(X(N/2+1,:)/D1,Y(:,N/2+1)/D1,abs(A.*A'));
    shading interp,lighting phong, colormap hot, view(2)
42 ejes = gca;
43 ejes.FontSize = 13;
44 title('D1-D2='+string(a))
45 xlabel('x/D1','FontSize',13);
46 ylabel('y/D1','FontSize',13);
47 axis square;
48 end

```